

طراحی خودخلبان با استفاده از روش کنترل کننده استاتیکی

شکل دهنده حلقه H_{∞}

معافی مدنی، سید محمد جواد^۱، محمد زمان، ایمان^{۲*}

۱- فارغ‌التحصیل کارشناسی ارشد، مجتمع دانشگاهی برق و الکترونیک، دانشگاه صنعتی مالک اشتر

۲- استادیار، مجتمع دانشگاهی برق و الکترونیک، دانشگاه صنعتی مالک اشتر

(دریافت مقاله: ۹۰/۱۲/۱۵ تاریخ پذیرش: ۹۰/۰۲/۰۵)

چکیده

در این مقاله خودخلبان مقاوم برای یک رهگیر زمین به هوا برد و ارتفاع کوتاه بدون نیاز به جدول‌بندی بهره که تضمین کننده پایداری در تمام پوش پروازی رهگیر باشد؛ طراحی شده است. ابتدا با استفاده از ابزار v-gap Metric نقطه کار مناسبی که بتوان با طراحی کنترل کننده مقاوم در آن نقطه، پایداری سیستم حلقه بسته را در تمام پوش پروازی تضمین نمود، انتخاب می‌شود. سپس دینامیک غیرخطی رهگیر در نقطه انتخاب شده خطی شده و در نهایت کنترل کننده مقاوم شکل دهنده حلقه H_{∞} طراحی شده است. همچنین الگوریتمی به منظور کاهش پیچیدگی طراحی وزن‌های شکل دهنده حلقه که توصیف کننده کارآیی می‌باشد، ارائه گردیده که با بهینه‌سازی این وزن‌ها حاشیه پایداری مقاوم سیستم را به بیشینه محلی می‌رساند. نشان داده می‌شود که حاشیه پایداری مقاوم حاصل شده می‌تواند پایداری رهگیر را برای تمام پوش پروازی تامین نماید.

واژه‌های کلیدی: خودخلبان مقاوم، شکل دهنده استاتیکی، بهینه‌سازی وزن‌ها، $v-gap metric$

مقدمه

طراحی خودخلبان رهگیرها از دیرباز یکی از مسائل مورد توجه محققین بوده که علت آن پیچیدگی مساله به خاطر وجود نامعینی، دینامیک غیرخطی و پارامترهای متغیر با زمان در آن می‌باشد [۱]-[۳]. در رهگیرهای امروزی تنها داشتن قابلیت مانور بالا و یا اجرای سریع دستورات ورودی همزمان با حفظ پایداری کافی نیست. بلکه این رهگیرها باید توانایی خود را در مسیرهای مختلف پروازی حفظ کرده و در برابر تغییرات در پارامترهای سیستم مقاومت خوبی داشته باشند. تغییر در جرم، وجود نامعینی در نمودار سوخت و اثرات نامعینی در سطوح بالک‌ها باعث پدید آمدن رفتارهای پیش‌بینی نشده و غیرخطی در دینامیک رهگیر می‌شود.

عموماً در طراحی کنترل کننده برای سیستم‌های غیرخطی و متغیر با پارامتر و به خصوص سیستم‌های هوافضایی از جدول‌بندی بهره استفاده می‌شود [۳]. مهمترین ویژگی این روش تبدیل مدل غیرخطی متغیر با پارامتر در اطراف نقاط کار

به چند مدل خطی محلی است و سپس با فیدبک از شتاب و سرعت زاویه‌ای رهگیر و با استفاده از کنترل کننده‌های خطی، حلقه کنترل طراحی می‌شود. در نتیجه با این ایده می‌توان از ابزارهای کنترل خطی که ابزارهای بسیار قدرتمندی هستند، در طراحی کنترل کننده برای سیستم خطی بهره برد. کنترل کننده‌های مذکور می‌توانند کارایی و پایداری را در اطراف نقطه کار تضمین کرده و با دور شدن از آن، عملکرد این کنترل کننده کاهش می‌یابد. این امر به خاطر آن است که مدل خطی رهگیر با فرض تغییرات کوچک مدل غیرخطی در اطراف نقطه تعادل تقریب زده می‌شود و اگر رهگیر به دلیل مانور یا افزایش سرعت، دچار تغییرات در پارامترهای جدول‌بندی بهره شود، دیگر مدل خطی تقریب دقیقی از مدل غیرخطی نخواهد بود و در نتیجه کنترل کننده کلاسیک طراحی شده برای مدل خطی قادر به تامین کارآیی و پایداری مدل واقعی نمی‌باشد. لذا با استفاده از روش‌های مختلف درون‌یابی بین کنترل کننده‌های خطی و سوئیچینگ بین آن‌ها کنترل کننده مناسب فراگیر برای

پایین و یا بدون درجه (استاتیکی) که قادر باشند کارآیی خوب، پایداری و همچنین یک سطح مشخصی از قوام را برای سیستم به دست آورند، انجام شده است [۱۴]-[۱۹]. در [۱۵] روشی برای طراحی کنترل کننده استاتیکی شکل دهی حلقه H_{∞} ارائه شده که شرایط وجود کنترل کننده استاتیکی شکل دهی حلقه H_{∞} بر اساس وجود جواب برای دو نامساوی ماتریسی خطی H_{∞} می باشد. در این روش، کنترل کننده طراحی شده از جنس بهره خالص بوده و درجه کنترل کننده نهایی تنها برابر درجه وزن های شکل دهی حلقه می باشد که بسیار درجه پایینی است و لذا این روش در طراحی کنترل کننده سیستم های پروازی مورد توجه قرار گرفته است [۱۷] و [۱۹]. ولیکن در این روش ابتدا باید پلات نامی توسط وزن های مناسب در حوزه فرکانس، شکل دهی شود، به گونه ای که پلات شکل دهی شده تمامی معیارهای کارآیی را برآورده سازد و پس از طراحی وزن های شکل دهی حلقه، کنترل کننده مقاوم برای پلات شکل دهی شده طراحی می گردد. اگر حاشیه پایداری مقاوم حاصل شده به اندازه کافی بزرگ نبود، باید طراحی وزن های شکل دهی حلقه دوباره تکرار گردد. علاوه بر آن در صورت کوچک بودن حاشیه پایداری مقاوم، طراح باید به اندازه کافی تجربه داشته باشد تا بتواند تشخیص دهد چه عاملی در وزن های شکل دهی حلقه باعث کاهش حاشیه پایداری مقاوم شده است و سپس بتواند این عامل را بدون آن که کارآیی خراب شود اصلاح نماید. این امر کاری پیچیده و زمان بر بوده و ممکن است طراح مجبور باشد تا چندین بار طراحی وزن ها را انجام دهد و علاوه بر آن ممکن است به کارآیی و یا حاشیه پایداری مقاوم مطلوب نرسد. در مرجع [۱۱] از الگوریتم PSO، در مرجع [۲۰] یک مساله بهینه سازی و در مرجع [۲۱] از الگوریتم ژنتیک برای آسان سازی طراحی وزن ها در شکل دهی حلقه استاندارد استفاده شده است. ولیکن تا به حال روشی برای طراحی سیستماتیک وزن ها در روش کنترل کننده استاتیکی شکل دهی حلقه H_{∞} ارائه نشده است.

در این مقاله خودخلبان مقاوم با ترکیب الگوریتم بهینه سازی بیان شده در مرجع [۲۰] با کنترل کننده استاتیکی شکل دهی حلقه H_{∞} ، طراحی شده و مشکل درجه بالای کنترل کننده مقاوم و پیچیدگی طراحی وزن ها به صورت همزمان برطرف شده است. توسط این الگوریتم وزن های شکل دهی حلقه به صورت همزمان با کنترل کننده استاتیکی مقاوم طراحی شده و همزمان حاشیه پایداری مقاوم سیستم نیز به بهینه محلی

سیستم غیرخطی طراحی شود [۴]. ولیکن در حالت کلی و پس از درون یابی بین کنترل کنندها در نقاط کار مختلف، نمی توان پایداری کلی سیستم غیرخطی جدول بندی شده را تضمین نمود [۴]. هر چند جدول بندی بر اساس روش های طراحی LPV و شبکه LPV تضمین کننده پایداری هستند اما دارای پیچیدگی زیاد در طراحی می باشند و منجر به کنترل کننده های محافظه کار خواهند شد [۵]. لذا اگر بتوان خودخلبان را طوری طراحی نمود تا بدون نیاز به جدول بندی بهره و تنها با استفاده از یک کنترل کننده خطی مقاوم بتواند در تمام پوش پروازی عملکرد مناسبی داشته باشد و پایداری را تضمین نماید، می توان از مشکلات استفاده از جدول بندی بهره رهایی یافته و پایداری سیستم حلقه بسته را نیز که یکی از موارد مهم در طراحی خودخلبان می باشد، تضمین نمود. برای نیل به این هدف، بایستی ابتدا نقطه کار مناسب به منظور خطی سازی مدل غیرخطی انتخاب شده و سپس کنترل کننده مقاوم طوری طراحی شود تا حاشیه پایداری سیستم، بیشینه باشد. در این حالت کنترل کننده مقاوم قادر به تضمین پایداری سیستم حلقه بسته خواهد بود.

روش های مختلفی برای طراحی کنترل کننده مقاوم ارائه شده است. از آن جایی که در نظریه کنترل H_{∞} ملاحظات قوام و کارآیی به طور همزمان در نظر گرفته می شود، استفاده از این نظریه در طراحی خودخلبان رهگیر بسیار مورد توجه قرار گرفته است [۶]-[۷]. در اواخر دهه ۸۰ و اوایل دهه ۹۰ با استفاده از نظریه کنترل H_{∞} روشی به نام روش شکل دهی حلقه H_{∞} ارائه شد که در این روش، نامعینی در فرکانس های پایین و بالا به راحتی مدل شده و بر خلاف روش سنتز M و ترکیب توابع حساسیت دیگر نیازی به طراحی وزن های پیچیده برای توصیف نامعینی نیست [۸]-[۹]. این روش برای سیستم های ناکمینه فاز، سیستم های چندمتغیره و سیستم های با تزویج بالا بین محورهای مختلف نیز معتبر بوده و در کاربردهای متنوع به خصوص در سیستم های متغیر با پارامتر بسیار مورد استفاده قرار گرفته است [۱۰]-[۱۳]. ولیکن در این روش درجه کنترل کننده نهایی بالا بوده و برابر مجموع درجه پلات نامی و درجه وزن های شکل دهی حلقه می باشد که پیاده سازی آن را با مشکل مواجه کرده و کاربرد آن را در سیستم های پروازی نامطلوب می سازد. برای حل این مشکل، تحقیقات فراوان پیرامون طراحی کنترل کننده های فیدبک خروجی H_{∞} با درجه

k_{∞}, W_2, W_1 ، کنترل کننده استاتیکی شکل دهی حلقه H_∞ که با $\|W_1\| \rightarrow \|z_1\| \leq \|z_2\|_\infty = \min_{\text{stab } k_\infty} \left\| \begin{bmatrix} k_\infty \\ I \end{bmatrix} (I - G_s k_\infty)^{-1} \begin{bmatrix} I & G_s \end{bmatrix} \right\|_\infty < \gamma$ [۲۲] مطابق رابطه زیر کمینه گردد [۲۲]:

$$\frac{\|W_1\|}{\|W_2\|} \rightarrow \|z_1\| \leq \|z_2\|_\infty = \min_{\text{stab } k_\infty} \left\| \begin{bmatrix} k_\infty \\ I \end{bmatrix} (I - G_s k_\infty)^{-1} \begin{bmatrix} I & G_s \end{bmatrix} \right\|_\infty < \gamma \quad (2)$$

عدد γ در رابطه فوق معکوس حاشیه پایداری مقاوم سیستم حلقه بسته می باشد. پلانت شکل دهی شده G_s را می توان توسط ضرایب نرمالیزه شده از سمت چپ نسبت به هم اول طبق رابطه زیر توصیف کرد [۲۳]:

$$G_s = \tilde{N} \tilde{M}^{-1} \quad (3)$$

به جای اعمال نامعینی روی پلانت شکل دهی شده G_s ، می توان نامعینی را روی ضرایب نرمالیزه شده از سمت چپ نسبت به هم اول اعمال کرد. نامعینی روی ضریب \tilde{N} معادل نامعینی ضرب شونده و نامعینی روی ضریب \tilde{M} معادل نامعینی ضرب شونده معکوس می باشد [۲۲]. از آن جایی که مدل نامعینی ضرب شونده، پایداری مقاوم را در برابر اغتشاشات فرکانس بالا تضمین کرده و مدل نامعینی ضرب شونده معکوس، پایداری مقاوم را در برابر اغتشاشات فرکانس پایین تضمین می کند می توان نتیجه گرفت با استفاده از ضرایب نرمالیزه شده از سمت چپ نسبت به هم اول پلانت شکل دهی شده G_s ، می توان پایداری مقاوم را در تمام محدوده فرکانسی تضمین کرد [۲۲]. با استفاده از تحقق فضای حالت پلانت شکل دهی شده G_s می توان عبارتی برای توصیف ضرایب \tilde{N}, \tilde{M} به دست آورد. تحقق فضای حالت پلانت شکل دهی شده G_s را به صورت زیر در نظر بگیرید:

$$G_s = \begin{pmatrix} A & B \\ C & D \end{pmatrix} \quad (4)$$

که در آن $A \in R^{n \times n}, B \in R^{n \times n_u}, C \in R^{n_y \times n}, D \in R^{n_y \times n_u}$ می باشند. ضرایب نرمالیزه شده از چپ نسبت به هم اول پلانت G_s را بصورت زیر می توان نوشت [۲۳]:

$$\begin{bmatrix} \tilde{N} & \tilde{M} \end{bmatrix} = \begin{bmatrix} A + LC & B + LD & L \\ E^{-1/2}C & E^{-1/2}D & E^{-1/2} \end{bmatrix} \quad (5)$$

که در آن:

$$L = -(B D^T + Z C^T) E^{-1} \quad (6)$$

$$Z = I + D D^T \quad (7)$$

می رسد. با استفاده از این ایده کنترل کننده مقاوم با درجه پایین در یک نقطه کار مشخص طراحی می گردد. همان طور که بیان شد به منظور جلوگیری از جدول بندی بهره، این نقطه باید به گونه ای انتخاب شود که کنترل کننده طراحی شده در آن نقطه، توانایی تامین پایداری در تمام پوش پروازی را داشته باشد. در این مقاله برای انتخاب نقطه کار از ابزار v-gap metric استفاده شده است. این ابزار بیانگر فاصله بین سیستم نامی و سیستم غیر نامی است و نشان داده می شود که رابطه مستقیمی با حاشیه پایداری مقاوم سیستم نامی دارد. با استفاده از این ابزار می توان پایداری سیستم حلقه بسته را در تمام مسیر پروازی آزمود. اگر پایداری سیستم حلقه بسته تامین نشد آن گاه نقطه کار دیگری انتخاب شده و دوباره فرآیند طراحی کنترل کننده مقاوم تکرار می گردد. این کار تا جایی انجام می گردد که پایداری سیستم حلقه بسته در تمام مسیر پروازی تضمین شود.

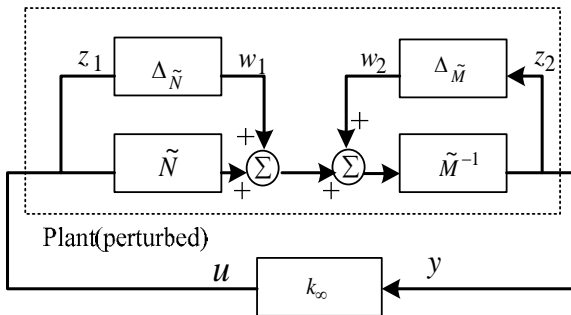
در نهایت با استفاده از شبیه سازی شش درجه آزادی راستی آزمایی طراحی صورت پذیرفته است. نشان داده می شود ملاحظات عملی در نظر گرفته شده برای رهگیر به خوبی رعایت شده و معیارهای کارآیی و قوام مورد انتظار به دست می آید. علاوه بر آن نشان داده می شود علی رغم ناکمینه فاز بودن سیستم رهگیر و محدودیت های ناشی از آن روی سرعت و قوام سیستم، الگوریتم بهینه سازی ارائه شده قادر خواهد بود با انتخاب مناسب وزن ها این محدودیت ها را تا حد ممکن کاهش دهد و در ضمن تا حد زیادی از پیچیدگی طراحی وزن ها به خاطر این موضوع جلوگیری کند.

کنترل کننده استاتیکی شکل دهی حلقه H_∞

در این قسمت به بیان روابط مورد نیاز و روش طراحی کنترل کننده استاتیکی شکل دهی حلقه H_∞ پرداخته شده است. در این روش قبل از طراحی کنترل کننده استاتیکی مقاوم، بایستی ابتدا پلانت نامی G با وزن های مناسب W_2, W_1 شکل دهی شود تا پلانت شکل دهی شده G_s تمامی معیارهای کارآیی را داشته باشد. پلانت شکل دهی شده G_s بصورت زیر نمایش داده می شود:

$$G_s = W_2 G W_1 \quad (1)$$

در شکل ۱ دیاگرام بلوکی روش شکل دهی حلقه H_∞ نشان داده شده است [۲۲]. پس از طراحی وزن های شکل دهی حلقه



شکل ۲- نامعینی روی ضرایب نرمالیزه شده از سمت چپ نسبت به هم اول

قضیه ۱: تحقق فضای حالت پلاتنت شکل دهی شده G_s را مطابق رابطه (۴) در نظر بگیرید. کنترل کننده استاتیکی شکل دهی حلقه H_∞ (k_∞) به گونه ای که نرم بی نهایت تابع تبدیل حلقه بسته از اغتشاش به خروجی مطابق رابطه (۱۰) کمینه گردد؛ وجود دارد، اگر $\gamma > 1$ و ماتریس معین مثبت R وجود داشته باشند بطوریکه دو نامساوی زیر را ارضانمایند [۱۵]:

$$R(A+LC)^T + (A+LC)R < 0 \quad (10)$$

(۱۱)

$$\begin{pmatrix} AR+RA^T-\gamma BB^T & RC^T-\gamma BD^T & -LE^{\frac{1}{2}} \\ CR-\gamma BD^T & -\gamma E & E^{\frac{1}{2}} \\ -E^{\frac{1}{2}}L^T & E^{\frac{1}{2}} & -\gamma I_{n_y} \end{pmatrix} < 0$$

که در روابط فوق L از رابطه (۶) به دست می آید و γ جواب یکه معادله جبری ریکاتی (۸) است.

با توجه به قضیه ۱، کنترل کننده استاتیکی با استفاده از لم کران حقیقی به صورت زیر محاسبه می شود [۱۵]:

$$k_\infty = \tilde{k}(I + D\tilde{k})^{-1} \quad (12)$$

که در روابط فوق \tilde{k} با حل نامساوی زیر حاصل می شود:

$$\tilde{A} + \tilde{B}\tilde{k}\tilde{C} + \tilde{C}^T\tilde{k}^T\tilde{B}^T < 0 \quad (13)$$

و ماتریس های $\tilde{C}, \tilde{B}, \tilde{A}$ در رابطه (۱۴) به صورت زیر تعریف می شوند:

$$\tilde{A} = \begin{pmatrix} AR+RA^T & 0 & RC^T & -LE^{\frac{1}{2}} \\ 0 & -\gamma I_{n_u} & 0 & 0 \\ CR & 0 & -\gamma I_{n_y} & E^{\frac{1}{2}} \\ -E^{\frac{1}{2}}L^T & 0 & E^{\frac{1}{2}} & -\gamma I_{n_y} \end{pmatrix} \quad (14)$$

و ماتریس γ در رابطه (۶) جواب یکه معادله جبری ریکاتی زیر می باشد:

(۸)

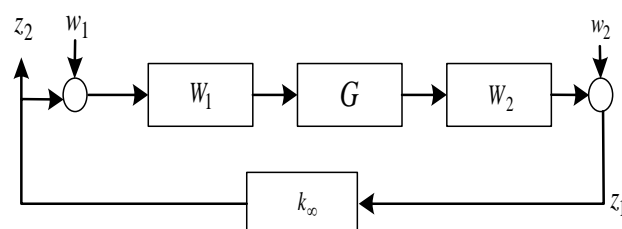
$$(A - BF^{-1}D^T C)Z + Z(A - BF^{-1}D^T C)^T - ZC^TE^{-1}CZ + BF^{-1}B^T = 0$$

که در رابطه فوق $F = I + D^T D$ می باشد.

با استفاده از ضرایب نرمالیزه شده از سمت چپ نسبت به هم اول پلاتنت شکل دهی شده G_s ، سیستم حلقه بسته به صورت شکل ۲ می باشد. با استفاده از ویژگی های ضرایب $\tilde{N}, \tilde{M}, \tilde{M}^{-1}$ می توان نشان داد رابطه (۲) معادل رابطه زیر است [۲۳]:

$$\min_{\text{stab } k_\infty} \left\| \begin{matrix} W_1 \\ W_2 \end{matrix} \right\| \rightarrow \left\| \begin{matrix} z_1 \\ z_2 \end{matrix} \right\|_\infty = \min_{\text{stab } k_\infty} \left\| \begin{bmatrix} k_\infty & \\ I & \end{bmatrix} (I - G_s k_\infty)^{-1} \tilde{M}^{-1} \right\|_\infty < \gamma \quad (9)$$

با حل روابط (۲) یا (۱۰) با استفاده از معادلات جبری ریکاتی، می توان کنترل کننده شکل دهی حلقه H_∞ استاندارد را طراحی کرد که درجه این کنترل کننده برابر درجه پلاتنت شکل دهی شده G_s می باشد [۲۳]. اما با حل این روابط با استفاده از ویژگی های نامساوی ماتریسی خطی، می توان درجه کنترل کننده را در طول فرآیند طراحی تحت نظارت قرار داد. در مرجع [۱۵] با استفاده از ویژگی های نامساوی ماتریسی خطی شرایط لازم برای وجود کنترل کننده استاتیکی (بدون درجه) شکل دهی حلقه H_∞ استخراج شده است. قضیه زیر شرایط کافی برای وجود کنترل کننده استاتیکی شکل دهی حلقه H_∞ برای پلاتنت شکل دهی شده G_s را بیان می کند.



شکل ۱- دیاگرام بلوکی روش شکل دهی حلقه H_∞

است که سیستم فیدبک نشان داده شده بین G_s و k_∞ در شکل (۱) را پایدار داخلی می کنند. یعنی:

$$(18)$$

$$\Psi(G_s) = \{k_\infty : [G_s, k_\infty] \text{ is internally stable}\}$$

به سادگی می توان نشان داد که حاشیه پایداری مقاوم با رابطه زیر نیز بیان می شود [۲۰]:

(۱۹)

$$\varepsilon[G_s, k_\infty] = \left\| \begin{bmatrix} G_s \\ I \end{bmatrix} (I - k_\infty G_s)^{-1} \begin{bmatrix} -k_\infty & I \end{bmatrix} \right\|_\infty^{-1}$$

بنابراین بیشترین مقدار حاشیه پایداری مقاوم به صورت $\varepsilon_{opt}(G_s) = \sup_{k_\infty} \varepsilon[G_s, k_\infty]$ تعریف می شود. همچنین مجموعه ماتریس های قطری با ابعاد $n \times n$ به صورت زیر تعریف می شوند:

$$\Lambda_n = \left\{ \begin{smallmatrix} n \\ i=1 \end{smallmatrix} \operatorname{diag}(x_i) : x_i \in R \forall i \right\} \quad (20)$$

فرض کنید (γ, R) مجموعه تمام $1 > \gamma$ و ماتریس معین متقارن مثبت R است به گونه ای که جواب دو نامساوی ماتریسی (۱۱) و (۱۲) باشند.

مساله بهینه سازی زیر که از ترکیب مساله بهینه سازی مرجع [۲۰] با روش کنترل کننده استاتیکی شکل دهنده حلقة ∞ بازگشته است را در نظر بگیرید:

$$\begin{aligned} \max \quad & \varepsilon_{opt}(G_S) \\ \text{such that:} \quad & \exists W_1, W_2 \in \ell H_\infty, \quad \gamma, R \in \wp(G_S), \quad k_\infty \in \Psi(G_S) \quad (21) \\ & |s(j\omega)| < \sigma_i(G_s(j\omega)) < |s(j\omega)| \quad \forall i, \omega, \end{aligned}$$

که در آن توابع فرکانسی $(j\omega)^\frac{1}{2}$ و $(j\omega)^{-\frac{1}{2}}$ به گونه ای انتخاب می شوند که بیانگر محدوده مجاز برای حرکت شکل فرکانسی تابع حلقه باز باشد. با انتخاب مناسب این توابع می توان معیارهای کارآیی را تعریف کرد. در حقیقت این مساله بیان می کند کنترل کننده استاتیکی k_∞ و وزن های W_2, W_1 را به گونه ای بیابید که حاشیه پایداری مقاوم بهینه گردد و همزمان معیارهای کارآیی نیز ارضاء گردند. حال این مساله بهینه سازی باید به گونه ای بیان شود که توسط نرم افزار قابل حل باشد. با استفاده

$$\tilde{B} = \begin{pmatrix} B \\ I_{n_u} \\ D \\ 0 \end{pmatrix} \quad (15)$$

$$\tilde{C} = \begin{pmatrix} CR & 0 & 0 & E^{\frac{1}{2}} \end{pmatrix} \quad (16)$$

و در نهایت کنترل کننده نهایی با رابطه زیر مشخص می شود:

$$k_s = W_2 k_\infty W_1 \quad (17)$$

الگوریتم طراحی همزمان وزن ها و کنترل کننده استاتیکی شکل دهنده حلقة ∞

مطابق مطالب بیان شده در بخش قبل، برای طراحی کنترل کننده استاتیکی شکل دهنده حلقة ∞ ابتدا بایستی پلات نامی توسط وزن های مناسب W_2, W_1 شکل دهنده شده تا معیارهای کارآیی حاصل گردد. اگر بعد از انتخاب وزن ها و بعد از حل نامساوی های (۱۱) و (۱۲) عدد γ به دست آمده (معکوس حاشیه پایداری مقاوم) خیلی بزرگ بود باید انتخاب وزن های W_2, W_1 دوباره تکرار شود. در این حالت ابتدا باید عامل کاهش حاشیه در شکل دهنده حلقة طراحی مشخص شده و سپس بایستی این عامل را بدون تحت تاثیر قرار دادن کارآیی اصلاح کرد تا حاشیه پایداری افزایش یابد. اما درک رابطه بین وزن ها و حاشیه پایداری مقاوم سخت می باشد. در نتیجه ممکن است لازم باشد برای رسیدن به حاشیه پایداری قابل قبول چندین بار فرآیند طراحی وزن های شکل دهنده حلقة تکرار شود و علاوه بر آن با قاطعیت نمی توان گفت حاشیه پایداری بهینه حاصل شده است. در این بخش برای حل این مساله و ساده سازی فرآیند انتخاب وزن های شکل دهنده حلقة و همچنین بهینه کردن حاشیه پایداری مقاوم، مساله بهینه سازی معرفی می گردد که مبتنی بر مساله بهینه سازی مرجع [۲۰] است. در مرجع [۲۰] این الگوریتم برای طراحی همزمان وزن ها و کنترل کننده شکل دهنده حلقة ∞ ارائه شده است. اما در اینجا این مساله بهینه سازی با کنترل کننده استاتیکی شکل دهنده حلقة ∞ ترکیب شده و الگوریتمی حاصل می شود که توسط این الگوریتم فرآیند طراحی وزن ها سیستماتیک و ساده شده و حاشیه پایداری مقاوم بهینه می گردد و در نهایت کنترل کننده نهایی دارای درجه پایینی می باشد.

فرض کنید $\Psi(G_s)$ بیانگر مجموعه تمام کنترل کننده هایی

$$\begin{aligned} A_{1\omega} &= W_1^{-*} W_1^{-1} \in \Lambda_n \\ A_{2\omega} &= W_2^* W_2 \in \Lambda_m \end{aligned} \quad (25)$$

با در اختیار داشتن $\Lambda_{1\omega}$ و $\Lambda_{2\omega}$ می‌توان به‌سادگی توابع W_2, W_1 را روی ℓH_∞ با منطبق کردن توابع تبدیل می‌نمیم فاز روی قطر اصلی $(\Lambda_{1\omega})^{-1/2}$ و $(\Lambda_{2\omega})^{1/2}$ بدست آورده. با جایگذاری $\Lambda_{1\omega}$ و $\Lambda_{2\omega}$ از رابطه (۲۶) در مساله (۲۵) می‌توان نوشت:

$$\min \gamma_\omega^2 \text{ at each } \omega \quad (26)$$

such that :

$$\begin{aligned} \exists A_{1\omega} \in \Lambda_n, A_{2\omega} \in \Lambda_m \\ \gamma, R \in \wp(G_s), k_\infty \in \Psi(G_s) \end{aligned}$$

$$\begin{aligned} (a) \begin{bmatrix} 0 & G \\ 0 & I \end{bmatrix}^* \begin{bmatrix} A_{2\omega} & 0 \\ 0 & A_{1\omega} \end{bmatrix} \begin{bmatrix} 0 & G \\ 0 & I \end{bmatrix} \leq \\ \gamma_\omega^2 \begin{bmatrix} I & G \\ k_\infty & I \end{bmatrix}^* \begin{bmatrix} A_{2\omega} & 0 \\ 0 & A_{1\omega} \end{bmatrix} \begin{bmatrix} I & G \\ k_\infty & I \end{bmatrix} \quad \forall \omega, \\ (b) |\underline{s}(\omega)|^2 (A_{1\omega}) < G^*(A_{2\omega}) G < |\bar{s}(\omega)|^2 (A_{1\omega}) \quad \forall \omega \end{aligned}$$

مساله بهینه‌سازی فوق دارای سه متغیر $A_{1\omega}$ و $A_{2\omega}$ و k_∞ می‌باشد و چون این مساله برای تمام متغیرها محدب نیست باید از تکیکی مشابه روش بازگشتی DK برای حل آن استفاده کرد. ورودی‌های این الگوریتم پلانت نامی G و توابع فرکانسی $(j\omega)^{\frac{1}{2}}$ و $\bar{s}(j\omega)$ هستند که بیانگر محدوده مجاز برای پاسخ فرکانسی تابع حلقه‌باز شکل‌دهی شده می‌باشد. مراحل الگوریتم

پیشنهادی به‌صورت زیر می‌باشد:

- ۱- قرار دهید $\hat{W}_{1,0} = I_n$, $\hat{W}_{2,0} = I_m$, $i = 0$ (یک شماره تکرار الگوریتم می‌باشد). ماتریس‌های همانی، یک انتخاب اولیه برای وزن‌های شکل‌دهی حلقه می‌باشند.
- ۲- پلانت شکل‌دهی شده $G_{s,i} = \hat{W}_{2,i} G_i \hat{W}_{1,i}^{-1}$ را محاسبه کنید. برای پلانت شکل‌دهی شده $G_{s,i}$ ماتریس $R_i > 0$ و متغیر عددی γ_i را که جواب دو نامساوی (۱۱) و (۱۲) هستند پیدا کنید. اگر این دو نامساوی قابل حل نبودند الگوریتم متوقف می‌شود و دیگر قادر به ادامه نخواهد بود. در غیر این صورت با استفاده از R_i و γ_i به‌دست‌آمده کنترل‌کننده استاتیکی شکل‌دهی حلقه H_∞ را توسط رابطه (۱۳) و کنترل‌کننده نهایی k_s را توسط رابطه (۱۸) بیابید. علاوه بر آن حاشیه‌پایداری

از رابطه (۲۰) مساله بهینه‌سازی (۲۱) به‌صورت زیر تبدیل می‌شود:

$$(22)$$

$$\min \left\| \begin{bmatrix} G_s \\ I \end{bmatrix} (I - k_\infty G_s)^{-1} \begin{bmatrix} -k_\infty & I \end{bmatrix} \right\|_\infty$$

such that:

$$\begin{aligned} \exists W_1, W_2 \in \ell H_\infty, \gamma, R \in \wp(G_s), k_\infty \in \Psi(G_s) \\ |\underline{s}(j\omega)| < \sigma_i(G_s(j\omega)) < |\bar{s}(j\omega)| \quad \forall i, \omega \end{aligned}$$

با استفاده از روابط (۱) و (۱۸) مساله بهینه‌سازی فوق را می‌توان به‌صورت زیر نوشت [۲۰]:

$$(23)$$

$$\min \left\| \begin{bmatrix} W_2 & 0 \\ 0 & W_1^{-1} \end{bmatrix} \begin{bmatrix} 0 & G \\ 0 & I \end{bmatrix} \begin{bmatrix} I & G \\ k_\infty & I \end{bmatrix} \begin{bmatrix} W_2^{-1} & 0 \\ 0 & W_1 \end{bmatrix} \right\|_\infty$$

such that :

$$\begin{aligned} \exists W_1, W_2 \in \ell H_\infty, \gamma, R \in \wp(G_s), k_\infty \in \Psi(G_s) \\ |\underline{s}(j\omega)| < \sigma_i(W_2(j\omega)G(j\omega)W_1(j\omega)) < |\bar{s}(j\omega)| \quad \forall i, \omega \end{aligned}$$

مساله بهینه‌سازی فوق را به‌سادگی با استفاده از روابط ریاضی می‌توان به‌صورت زیر بیان کرد:

$$(24)$$

$$\min \gamma_\omega^2 \text{ at each } \omega$$

such that :

$$\exists W_1, W_2 \in \ell H_\infty, \gamma, R \in \wp(G_s), k_\infty \in \Psi(G_s)$$

$$(a) \begin{bmatrix} 0 & G \\ 0 & I \end{bmatrix}^* \begin{bmatrix} W_2 W_2 & 0 \\ 0 & W_1^{-1} W_1^{-1} \end{bmatrix} \begin{bmatrix} 0 & G \\ 0 & I \end{bmatrix} \leq$$

$$\gamma_\omega^2 \begin{bmatrix} I & G \\ k_\infty & I \end{bmatrix}^* \begin{bmatrix} W_2 W_2 & 0 \\ 0 & W_1^{-1} W_1^{-1} \end{bmatrix} \begin{bmatrix} I & G \\ k_\infty & I \end{bmatrix} \quad \forall \omega,$$

$$(b) |\underline{s}(\omega)|^2 (W_1^{-1} W_1^{-1}) < G^*(W_2 W_2) G < |\bar{s}(\omega)|^2 (W_1^{-1} W_1^{-1}) \quad \forall \omega$$

از آن جایی که وزن‌های W_2, W_1 قطری هستند توابع $W_1^{-*} W_1^{-1}$ و $W_2^* W_2$ نیز قطری بوده که به‌صورت زیر نمایش داده می‌شوند:

$$\begin{bmatrix} L \\ M \\ N \end{bmatrix} = \begin{bmatrix} I_{xx}\dot{P} \\ I_{yy}\dot{Q} \\ I_{zz}\dot{R} \end{bmatrix} \quad (29)$$

نیروها و گشتاورهای آیرودینامیکی در روابط بالا به صورت زیر تعیین می شوند [۲۴]:

$$\begin{aligned} Y &= QS \left(C_{y_\beta} \beta + C_{y_{\delta_r}} \delta_r + C_{y_r} \cdot \frac{D}{2U} R \right) \\ Z &= QS \left(C_{z_\alpha} \alpha + C_{z_{\delta_e}} \delta_e + C_{z_q} \cdot \frac{D}{2U} Q \right) \\ L &= QSD \left(C_{l_{\dot{\alpha}}} \delta_a + C_{l_p} \cdot \frac{D}{2V} P \right) \\ M &= QSD \left(C_{m_\alpha} \alpha + C_{m_{\delta_e}} \delta_e + C_{m_q} \cdot \frac{D}{2U} Q \right) \\ N &= QSD \left(C_{n_\beta} \beta + C_{n_{\delta_r}} \delta_r + C_{n_r} \cdot \frac{D}{2U} R \right) \end{aligned} \quad (30-31)$$

از آن جایی که کنترلی روی شتاب در راستای محور x بدنی رهگیر صورت نمی پذیرد، نیروی وارد بر راستای x بدنی، در رابطه (۳۰) تحلیل نشده است.

پس از خطی سازی معادلات (۲۸) و (۲۹) و ساده سازی می توان توابع تبدیل کانال های رول، پیچ و یاو را بدست آورد. برای اختصار تنها توابع تبدیل کانال های رول و پیچ نشان داده می شوند زیرا تابع تبدیل کانال سمت مشابه کانال پیچ می باشد. تابع تبدیل کانال رول بصورت زیر می باشد [۲۴]:

$$\frac{p_\delta(s)}{\delta a_\delta(s)} = \frac{L_{\delta A}}{sI_x - L_p} \quad (32)$$

همچنین تابع تبدیل کانال پیچ بصورت زیر می باشد [۲۴]:

$$\frac{q_\delta(s)}{\delta e_\delta(s)} = \frac{M_\delta s + (Z_\delta M_\alpha - Z_\alpha M_\delta)}{s^2 - (M_q + Z_\alpha/V)s + ((Z_\alpha M_q - M_\alpha Z_q)/V - M_\alpha)} \quad (33)$$

$$\frac{a_z(s)}{q_\delta(s)} = \frac{Z_\delta s^2 + (M_\delta Z_q - Z_\delta M_q)s + (Z_\alpha M_\delta - Z_\delta M_\alpha)}{s^2 - (M_q + Z_\alpha/V)s + ((Z_\alpha M_q - M_\alpha Z_q)/V - M_\alpha)} \quad (34)$$

$\hat{\epsilon}_i = 1/\gamma_i$ را محاسبه کنید. اگر $i > 1$ و در ضمن $\hat{\epsilon}_i$ به اندازه کافی بزرگ بود از برنامه خارج شوید. در غیر این صورت به گام سوم بروید.

-۳- مساله بهینه سازی شبکه محدب (۲۷) را در هر فرکانس ω حل کنید. $A_{2\omega}, \hat{A}_{1\omega}$ مقادیری از $A_{1\omega}$ و $A_{2\omega}$ هستند که به ازای آن می نیمم مقدار γ در مساله بهینه سازی (۲۷) در هر فرکانس ω حاصل شود.

-۴- قرار دهید $i = i + 1$.

-۵- ماتریس های توابع تبدیل قطری $\ell H_\infty \hat{W}_{2,i}(s), \hat{W}_{1,i}(s)$ را در با منطبق کردن توابع تبدیل می نیمم فاز روی مقادیر روی قطر اصلی $(\hat{A}_{2\omega})^{1/2}, (\hat{A}_{1\omega})^{1/2}$ به ترتیب بدست آورید و به گام دوم برگردید.

در

شکل ۳ نمودار گردشی الگوریتم ارائه شده، نشان داده شده است.

مدل دینامیکی رهگیر

مدل ریاضی بیان شده در این بخش، توصیف کننده دینامیک یک رهگیر آیرودینامیکی TST^۳ زمین به هوا با کنترل دم در سه محور رول، پیچ و یاو می باشد. هدف از طراحی خودخلبان آن است که رهگیر مورد نظر بتواند با تغییر زاویه بالک الیتور، رادر و ایلوون ($\delta_e, \delta_r, \delta_a$)، دستورات متغیر شتاب در محورهای پیچ و یاو (a_{y_r}, a_{z_r}) را به خوبی تعقیب نموده و علاوه بر آن سرعت زاویه ای کانال رول را صفر کند. تابع تبدیل عملگر بالکها

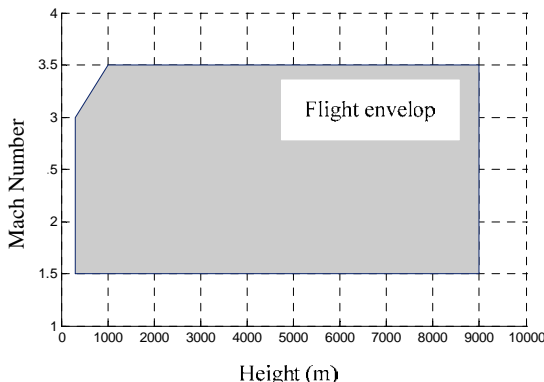
بصورت زیر می باشند:

$$\frac{\delta(s)}{\delta_c(s)} = \frac{\omega_n^2}{s^2 + 2\zeta\omega_n s + \omega_n^2} \quad (27)$$

که در آن فرکانس طبیعی عملگر برابر 200 rad/sec و ضریب میرایی برابر 0.7 می باشد. با فرض تقارن آیرودینامیکی در کانال غلت و کوچک بودن نرخ تغییر زاویه غلت (p)، معادلات شش درجه آزادی رهگیر در دستگاه بدنی به صورت زیر می باشد [۲۴]

$$\begin{bmatrix} X \\ Y \\ Z \end{bmatrix} = m \begin{bmatrix} (\dot{U} + QW - RV) \\ (\dot{V} + RU) \\ (\dot{W} - QU) \end{bmatrix} \quad (28)$$

ناحیه پروازی رهگیر زمین به هوای برد و ارتفاع کوتاه که در این مقاله در نظر گرفته شده است مطابق شکل ۴ می‌باشد.



شکل ۴- ناحیه پروازی رهگیر

طراحی خودخلبان مقاوم با استفاده از الگوریتم پیشنهادی

به منظور طراحی خودخلبان مقاوم با استفاده از الگوریتم پیشنهادی و به منظور عدم استفاده از جدول‌بندی بهره، ابتدا بایستی نقطه کار مناسب را انتخاب کرده و تابع تبدیل مدل خطی را در اطراف نقطه کار بدست آورد. بهمنظور انتخاب نقطه کار از ابزار v-gap metric استفاده شده است. ابزار v-gap metric برای بیان فاصله بین دو سیستم LTI مورد استفاده قرار می‌گیرد.

تعریف: v-gap metric به صورت زیر تعریف می‌شود [۲۵]:

(۳۶)

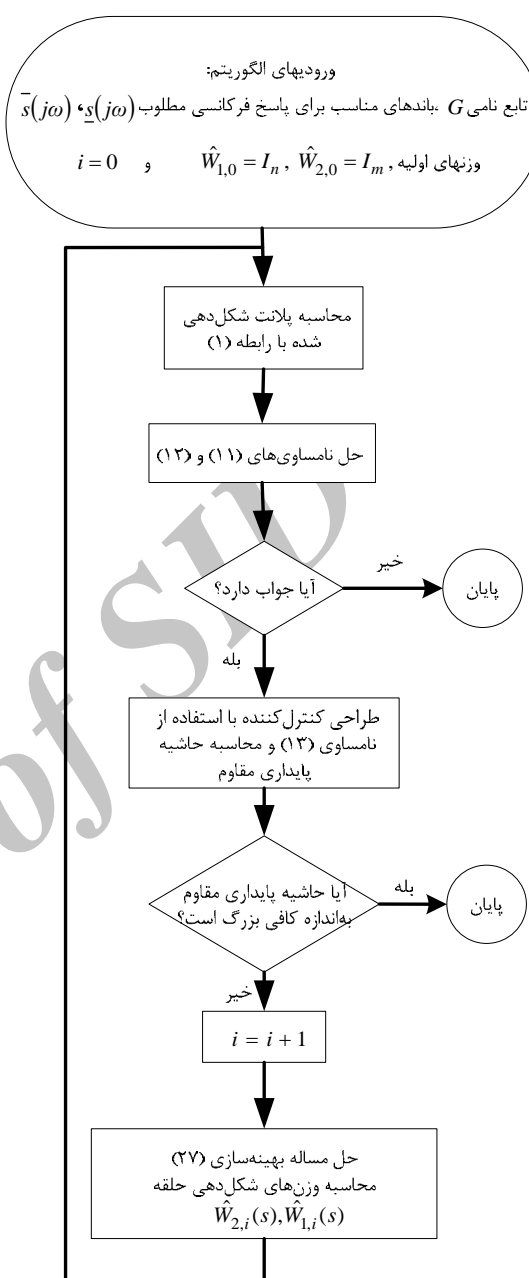
$$\delta_v(P_1, P_2) = \begin{cases} \|\Psi(P_1, P_2)\|_\infty, & \det \theta(j\omega) \neq 0 \quad \forall \omega, \text{wnodet } \theta(s) = 0 \\ 1, & \text{otherwise} \end{cases}$$

که در آن:

$$\Psi(P_1, P_2) = -\tilde{N}_2 M_1 + \tilde{M}_2 N_1 \quad (37)$$

$$\theta(s) = \tilde{N}_2 N_1 + \tilde{M}_2 M_1 \quad (38)$$

و $\tilde{N}_2, N_1, \tilde{M}_2, M_1$ ضرایب نرمالیزه شده نسبت به هم اول پلاتنت‌های P_1, P_2 بوده و $\text{wnodet } \theta(s) = 0$ برابر تعداد چرخش تابع $\theta(s)$ در جهت عقربه‌های ساعت حول مبدأ می‌باشد که در نمودار نایکوئیست مشخص است. قضیه زیر بیان گر شرایطی است که اگر کنترل‌کننده‌ای بتواند پلاتنت غیر نامی G را به صورت مقاوم پایدار کند، آن‌گاه خواهد توانست پلاتنت غیر نامی G_Δ را نیز پایدار کند [۲۵].



شکل ۳- نمودار گردشی الگوریتم بهینه‌سازی ارائه شده

که در این روابط:

$$\begin{aligned} L_{\delta A} &= QSDC_{l_{\delta A}} & Z_q &= \frac{SQDC_{z_q}}{m} \\ L_p &= QSDC_{l_p} \left(\frac{D}{2V} \right) & M_\delta &= \frac{SQDC_{m_\delta}}{I_y} \\ Z_\delta &= \frac{SQDC_{z_\delta}}{m} & M_\alpha &= \frac{SQDC_{m_\alpha}}{I_y} \\ Z_\alpha &= \frac{SQDC_{z_\alpha}}{m} & M_q &= \frac{SQD^2 C_{m_q}}{I_y V} \end{aligned} \quad (35)$$

کنترل کننده مقاوم طراحی می‌گردد.تابع حلقه باز نامی G برای نقطه کار انتخابی مطابق رابطه زیر به دست می‌آید:

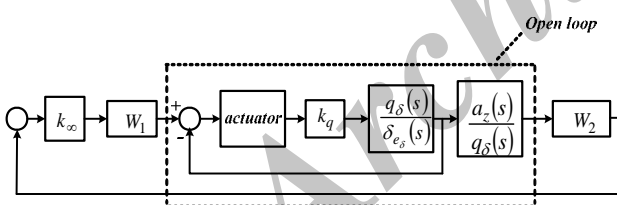
$$G = \frac{k_q \cdot G_a \cdot \frac{q_\delta}{\delta_{e_\delta}} \cdot a_z \cdot q_\delta}{1 + k_q \cdot G_a \cdot \frac{q_\delta}{\delta_{e_\delta}}} \quad (40)$$

$$G = \frac{863878246(s - 30)(s + 25)}{(s + 121)(s + 3)(s^2 + 20 + 7933)}$$

در شکل ۶ پاسخ فرکانسی تابع G در نقطه کار انتخابی نشان داده شده است. خودخلبان با این طوری طراحی شود تا توانایی حفظ پایداری و کارآیی مطلوب را داشته باشد. با توجه به مشخصات مورد نیاز، معیارهای پایداری و کارآیی که در این مقاله تعریف شده به صورت زیر می‌باشد:

معیار نخست کارآیی: $t_r < 0.65\text{sec}$, $O.V < 10\%$, $e_{ss} < 0.01$
معیار دوم کارآیی: بیشینه نرخ تغییر زاویه بالکهای رادر و الویتور ($\dot{\theta}_{r_\delta}, \dot{\theta}_{e_\delta}$) برای دستور پله 1g ، از 28deg/sec کمتر باشد.

معیار نخست مقاومت: رهگیر باید علی‌رغم 25% تغییر در ضرباب آبرودینامیکی و در تمام مسیر پرواز، پایداری مقاوم داشته باشد.
معیار دوم مقاومت: بهره سیستم حلقه باز در فرکانس 300 rad/sec باید 25 dB تضعیف گردد (به منظور حذف دینامیک‌های فرکانس بالای عملگر و همچنین حذف نویز).



شکل ۵- دیاگرام بلوکی مدل خطی رهگیر در کanal پیج به همراه عملگر و وزن‌های شکل دهی حلقة و کنترل کننده مقاوم

در روش کنترل کننده استاتیکی شکل دهی حلقة H_{∞} ، پاسخ فرکانسی تابع حلقه باز رهگیر (G)، باید به گونه‌ای مناسب توسط وزن‌های W_2, W_1 شکل دهی شود (

شکل ۵). در این بخش برای طراحی وزن‌های W_2, W_1 از الگوریتم ارائه شده در مقاله استفاده می‌شود.

با استفاده از این الگوریتم دیگر نیازی به طراحی وزن‌های شکل دهی حلقة به صورت تجربی نیست و مقدار زیادی از پیچیدگی طراحی وزن‌های شکل دهی حلقة کاسته می‌شود. در

قضیه ۲: پلاست نامی G داده شده است و $\beta \leq \alpha < \varepsilon_{opt}(G)$ است. برای کنترل کننده داده شده K و برای تمام پلاست‌های غیر نامی که دارای ویژگی $\delta_v(G, G_{\Delta}) \leq \beta$ هستند، رابطه زیر برقرار است:

$$\arcsin \varepsilon[G, K] > \arcsin \alpha - \arcsin \beta \quad (39)$$

اگر و فقط اگر: $\varepsilon[G, K] > \alpha$.

قضیه فوق بیان می‌کند که اگر کنترل کننده K بتواند پلاست نامی G را با حاشیه پایداری مقاوم β پایدار کند، می‌تواند هر پلاستی که فاصله $v\text{-gap}$ آن از پلاست نامی، کمتر از β باشد را نیز پایدار نماید [۲۵].

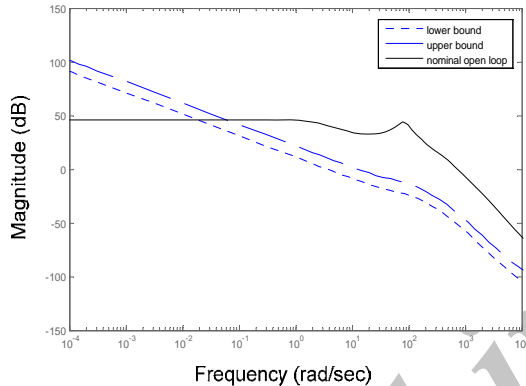
این قضیه از آن جهت حائز اهمیت است که اگر بتوان در ناحیه پروازی رهگیر، پلاست نامی G مناسبی یافت به گونه‌ای که فاصله $v\text{-gap}$ آن با سایر پلاست‌های دیگر درون ناحیه پروازی، کمتر از حاشیه پایداری مقاوم $[G, K]$ باشد آن گاه می‌توان مطمئن بود که کنترل کننده K تمامی پلاست‌های موجود درون ناحیه پروازی رهگیر را نیز پایدار خواهد کرد. برای پیدا کردن پلاست نامی مناسب درون ناحیه پروازی رهگیر از تجربه طراح و روش سعی و خطا استفاده شده است. ابتدا یک نقطه درون ناحیه پروازی رهگیر انتخاب شده و کنترل کننده مقاوم K برای آن طراحی می‌شود. سپس فاصله $v\text{-gap}$ بین پلاست نامی و سایر پلاست‌های درون ناحیه پروازی محاسبه می‌شود. اگر بیشترین فاصله به دست آمده از حاشیه پایداری مقاوم پلاست شکل دهی شده نامی کمتر بود آن گاه کنترل کننده مقاوم K پایداری سایر پلاست‌های درون ناحیه پروازی را تضمین کرده و در غیر این صورت نقطه جدیدی انتخاب می‌شود و همین فرآیند دوباره تکرار می‌گردد.

در نهایت در این مقاله نقطه کار مناسب به صورت $M = 1.625, h = 2000m$ انتخاب شده است. برای این نقطه کار وزن‌های W_2, W_1 و کنترل کننده استاتیکی شکل دهی حلقة H_{∞} طراحی می‌شود. به منظور داشتن پاسخ گذراي مناسب در حلقة خودخلبان، از حلقة داخلی سرعت زاویه‌ای استفاده می‌شود. با استفاده از ژیروسکوپ نرخی و با فیدبک گرفتن از سرعت زاویه‌ای کanal پیج می‌توان به سادگی کنترل کننده تناسی k_q را مطابق شکل ۴ طراحی کرد. این مقدار برابر $k_q = -0.45$ انتخاب شده است. سپس برای تابع حلقه باز نامی G که به صورت خط‌چین در شکل ۵ نشان داده شده است، وزن‌های W_2, W_1 و

به گونه‌ای انتخاب شده است که پاسخ فرکانسی تابع حلقه‌باز شکل‌دهی شده G_s ، درون محدوده‌های فرکانسی $(j\omega) \underline{s}$ و $(j\omega) \bar{s}$ قرار می‌گیرد. حال می‌توان با اطمینان گفت که تابع G_s تمام معیارهای کارآیی را برآورده می‌کند. شکل ۸ حاشیه‌پایداری مقاوم حاصل شده در هر بار تکرار الگوریتم را در نقطه کار نشان می‌دهد. همان‌گونه که از این شکل مشخص است حاشیه‌پایداری مقاوم حاصل شده از این الگوریتم بعد از پنج بار تکرار به مقدار $0/5346$ می‌رسد. در نهایت تابع وزنی W_2 و همچنین کنترل‌کننده استاتیکی مقاوم k_∞ به صورت زیر بدست می‌آید:

$$W_2 = \frac{0.006s^3 + 0.21s^2 + 42.6s + 126.6}{s^3 + 231.5s^2 + 3823s + 0.4} \quad (42)$$

$$k_\infty = -0.8$$



شکل ۶- پاسخ فرکانسی تابع حلقه‌باز نامی به همراه ناحیه‌های طراحی شده برای بیان معیارهای کارآیی

حال با استفاده از ابزار v-gap metric پایداری سیستم حلقه‌بسته در تمام مسیر پروازی سنجیده می‌شود. همان‌گونه که از روابط (۳۱)-(۳۶) مشاهده می‌شود معادلات دینامیکی موشک به سه متغیر فشار دینامیکی، عدد ماخ و زاویه حمله بستگی دارد.

فشار دینامیکی وابسته به عدد ماخ و ارتفاع می‌باشد. چنانچه عدد ماخ را به عنوان یک متغیر جدول‌بندی بهره انتخاب شود، می‌توان به جای فشار دینامیکی از ارتفاع به عنوان متغیر دیگر جدول‌بندی بهره استفاده نمود. با توجه به بررسی انجام شده از آن جا که محدوده زاویه حمله کوچک می‌باشد، تغییرات زاویه حمله در این رهگیر تاثیر چندانی در رفتار غیرخطی سیستم نخواهد داشت و می‌توان از آن به عنوان پارامتر جدول‌بندی بهره سرف نظر نمود.

ابتدا باید محدوده‌های فرکانسی $(j\omega) \underline{s}$ و $(j\omega) \bar{s}$ را به گونه‌ای مناسب تعیین کرد. این توابع مشخص کننده چگونگی حرکت پاسخ فرکانسی تابع شکل‌دهی شده می‌باشد. با تعریف مناسب این توابع می‌توان تمامی معیارهای کارآیی و مقاومت را به خوبی تعریف کرد.

با توجه به معیارهای کارآیی و مقاومت و اصول ذکر شده در شکل‌دهی حلقه، محدوده‌های فرکانسی $(j\omega) \underline{s}$ و $(j\omega) \bar{s}$ به صورت زیر تعریف می‌شوند:

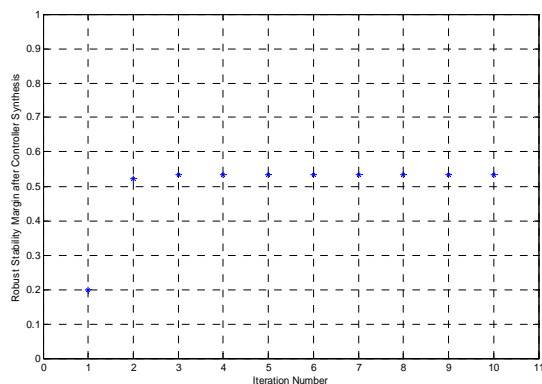
$$\underline{s}(j\omega) = \frac{3(s+40)(s+3000)}{(s+0.00001)(s+100)(s+200)(s+1000)} \quad (41)$$

$$\bar{s}(j\omega) = \frac{10(s+40)(s+3000)}{(s+0.00001)(s+100)(s+200)(s+1000)}$$

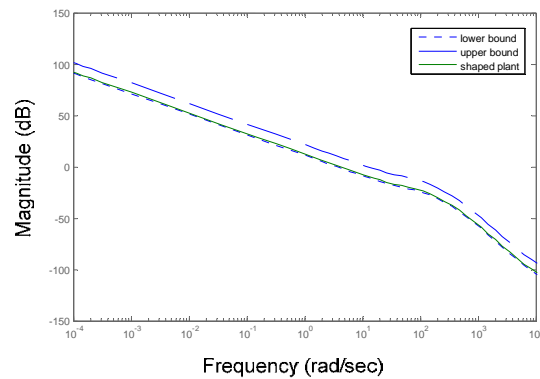
شکل ۶ پاسخ فرکانسی تابع حلقه‌باز نامی G_s و محدوده‌های فرکانسی $(j\omega) \underline{s}$ و $(j\omega) \bar{s}$ را نشان می‌دهد. حال می‌توان مساله طراحی وزن‌های شکل‌دهی حلقه را به این صورت بیان کرد که توابع W_2, W_1 را به گونه‌ای بیابید که با ضرب این توابع در تابع حلقه‌باز نامی G_s ، تابع شکل‌دهی شده G_s (رابطه (۱۱)، درون ناحیه نشان داده شده در شکل ۶ قرار گیرد. از آنجایی که محدوده‌های نشان داده شده در شکل ۶ به خوبی بیانگر معیارهای کارآیی و معیار دوم مقاومت هستند می‌توان مطمئن بود که تابع شکل‌دهی شده G_s تمامی معیارهای کارآیی را دارا می‌باشد.

تابع حلقه‌باز نامی G_s به همراه محدوده‌های فرکانسی $(j\omega) \underline{s}$ و $(j\omega) \bar{s}$ ، به عنوان ورودی به الگوریتم پیشنهادی داده می‌شوند. تابع وزنی W_1 برای سادگی برابر یک انتخاب شده و الگوریتم بهینه‌سازی اجرا می‌شود. محدوده فرکانسی انتخاب شده برای الگوریتم از 10^{-4} تا 10^4 است که به صورت لگاریتمی به ۱۰۰ نقطه تقسیم شده است. در هر بار تکرار الگوریتم به ازای این ۱۰۰ نقطه، نامساوی‌های ماتریسی خطی حل شده و مقدار وزن W_2 در ۱۰۰ نقطه فرکانسی به دست می‌آید. با منطبق کردن یک تابع تبدیل کمینه‌فارز روی مقادیر به دست آمده در این ۱۰۰ نقطه می‌توان تابع تبدیل W_2 را به دست آورد. این الگوریتم تا جایی تکرار می‌شود که حاشیه‌پایداری مقاوم حاصل شده به می‌نیم خود برسد. خروجی این الگوریتم تابع تبدیل W_2 به همراه کنترل‌کننده استاتیکی مقاوم k_∞ می‌باشد.

شکل ۷ پاسخ فرکانسی تابع تبدیل حلقه‌باز شکل‌دهی شده G_s را در نقطه کار به همراه محدوده‌های فرکانسی $(j\omega) \underline{s}$ و $(j\omega) \bar{s}$ نشان می‌دهد. همان‌گونه که انتظار می‌رفت وزن W_2

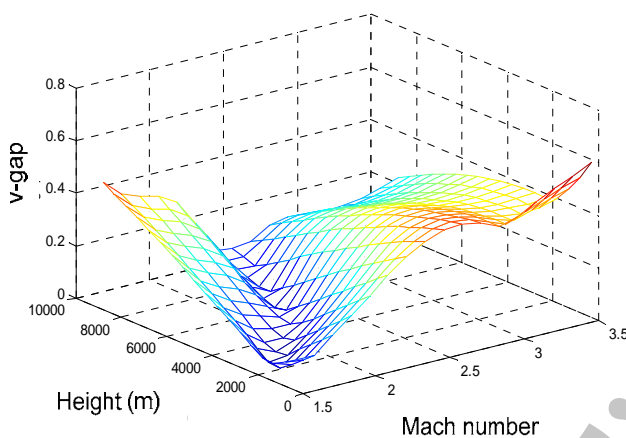


شکل ۸- حاشیه پایداری مقاوم حاصل شده بعد از هر بار تکرار الگوریتم



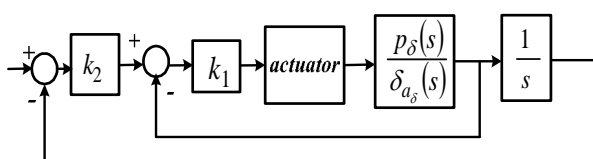
شکل ۷- پاسخ فرکانسی تابع حلقه باز شکل دهی شده درون ناحیه های فرکانسی طراحی شده قرار گرفته است

برای این کار ابتدا ناحیه پروازی معین شده در شکل ۴ به صورت مناسبی شبکه بندی می شود. سپس تابع حلقه باز G_i که به صورت خط چین در



شکل ۹- v-gap بین توابع حلقه باز شکل دهی شده در تمام ناحیه پروازی نسبت به حالت نامی

ضرایب k_2, k_1 به صورت $k_2 = 10, k_1 = -0.27$ طراحی می شوند به گونه ای که پهنه ای باند سیستم حلقه بسته در کanal رول در شکل ۱۰ بزرگتر از پهنه ای باند کanal های پیج و یاو باشد. زیرا سرعت زاویه ای کanal رول باید سریعتر از کanal های دیگر صفر شود و در غیر این صورت تزویج بین کanal های پیج و یاو رخ خواهد داد.

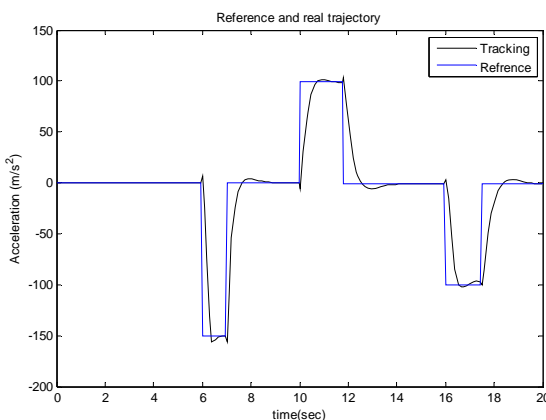


شکل ۱۰- دیاگرام بلوکی مدل خطی رهگیر در کanal رول به همراه حلقه فیدبک

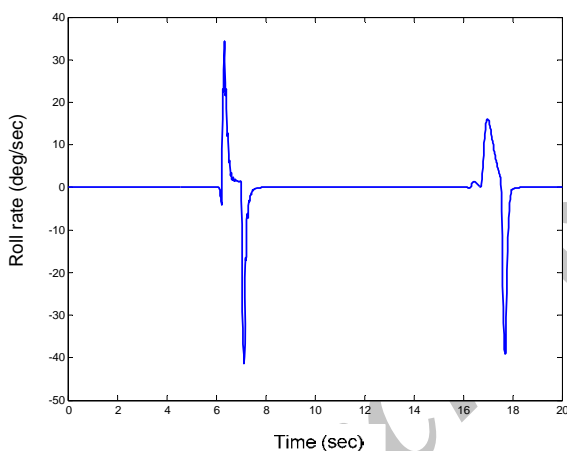
شکل ۵ نشان داده شده است به ازای تمام نقطه موجود درون این ناحیه محاسبه شده و سپس با استفاده از وزن طراحی شده W_2 تمامی این توابع شکل دهی می شوند. در نتیجه ۹ تابع شکل دهی $G_{s,i}$ حاصل می شود. آن گاه فاصله v-gap بین تمام $G_{s,i}$ ها با تابع شکل دهی شده نامی G_s مطابق شکل ۹ محاسبه می شود. اگر ماکریم فاصله بین پلاتنت های شکل دهی شده $G_{s,i}$ با پلاتنت شکل دهی شده نامی G_s از حاشیه پایداری مقاوم به دست آمده برای نقطه نامی کمتر بود آن گاه طبق قضیه ۲، کنترل کننده استاتیکی طراحی شده برای این نقطه کار تضمین کننده پایداری در تمام ناحیه مشخص شده در شکل ۴ خواهد بود. همان گونه که از شکل ۹ مشخص است، ماکریم ۷- gap به دست آمده در پوش پروازی برای این نقطه کار برابر $0/5$ می باشد که کوچکتر از حاشیه پایداری مقاوم به دست آمده در نقطه کار انتخابی می باشد. بنابراین طبق قضیه ۲، کنترل کننده طراحی شده قادر به تضمین پایداری برای تمام ناحیه پروازی می باشد.

در ادامه به طراحی خودخلبان رهگیر به منظور صفر کردن نرخ زاویه ای حلقه رول پرداخته می شود. از آن جایی که در به دست آوردن معادلات خطی رهگیر به منظور جلوگیری از تزویج بین کanal های پیج و یاو، فرض شده است که سرعت زاویه ای کanal رول صفر باشد پس باید سرعت زاویه ای کanal رول را با طراحی یک کنترل کننده فیدبک ساده مطابق شکل ۱۰ صفر کرد.

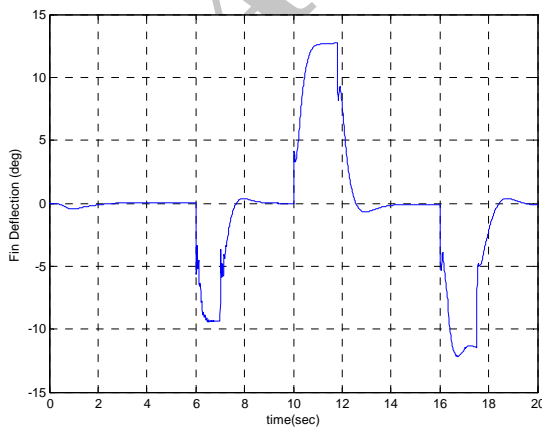
نهایی برای این 60° نقطه عملکرد ترسیم می‌شود. مطابق شکل ۲۲، بهره سیستم‌های حلقه‌باز در فرکانس 300 rad/sec بین 34 db تا 22 db تضعیف می‌شود که با توجه به معیار کارآیی بیان شده، مقدار قابل قبولی می‌باشد.



شکل ۱۱- شتاب ورودی و شتاب رهگیر در کanal z



شکل ۱۲- سرعت زاویه‌ای حلقه رول



شکل ۱۳. سیگنال کنترلی ورودی به عملگر

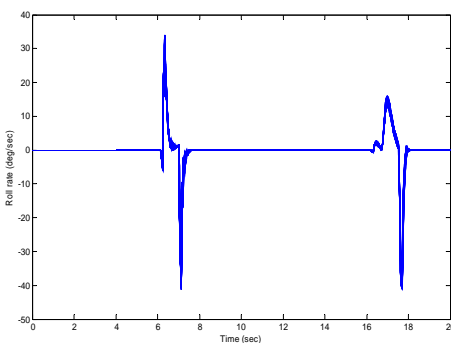
شبیه‌سازی شش درجه آزادی

بعد از طراحی کنترل کننده استاتیکی شکل دهی حلقه H_∞ و وزن‌های شکل دهی حلقه W_2, W_1 در حالت خطی، به منظور اطمینان از عملکرد سیستم باستی آن را به شبیه‌سازی شش درجه آزادی غیر خطی اعمال نمود.

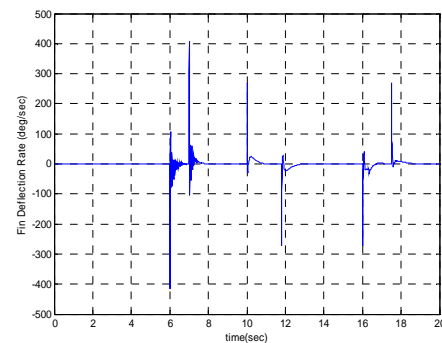
هدف از شبیه‌سازی شش درجه آزادی این است که نشان داده شود کنترل کننده طراحی شده قادر است معیارهای کارآیی و پایداری که در بخش قبل بیان شد را برای سیستم غیرخطی حفظ کند. برای آن که کارآیی کنترل کننده مقاوم نشان داده شود، دستور شتاب ورودی به صورت پله در شش نقطه مطابق شکل ۱۱ به سیستم اعمال می‌شود و معیارهای کارآیی در این نقاط بررسی می‌شوند. شکل ۱۱ شتاب خروجی رهگیر در کanal z را به همراه دستور ورودی نشان می‌دهد. همان‌گونه که بیان شد ابتدا می‌بایست نرخ زاویه‌ای حلقه رول صفر گردد. این کار مطابق شکل ۱۲ به خوبی انجام شده است. در شکل ۱۳ سیگنال کنترلی ورودی به عملگر نشان داده شده است. همچنین در شکل ۱۴ نرخ تغییرات سیگنال کنترلی نشان داده شده است. در جدول ۱ کارآیی به دست آمده در نقاط مختلف آمده است. با توجه به معیارهای کارآیی بیان شده، همان‌گونه که از نتایج جدول ۱ مشاهده می‌شود در تمامی نقاط کارآیی مطلوبی برآورده شده است. در شکل ۱۴ و ۱۵ نیز زاویه حمله و سرعت زاویه‌ای کanal پیچ نشان داده شده است.

تحلیل نتایج در حالت اغتشاش یافته

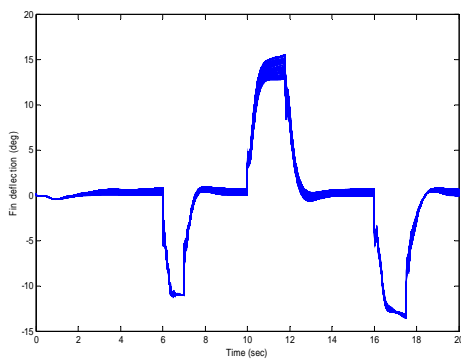
به منظور تحلیل پایداری سیستم حلقه‌بسته در برابر نامعینی در ضرایب آیرودینامیکی، آزمون مونت کارلو به صورت زیر انجام می‌گیرد. تمامی ضرایب آیرودینامیکی به صورت تصادفی و به اندازه 25% تغییرات حول مقدار نامی تغییر داده شده و این تغییرات تصادفی در ضرایب آیرودینامیکی ۲۰۰ بار تکرار می‌شود. مطابق شکل ۱۷، تعقیب شتاب ورودی توسط شتاب رهگیر به خوبی در هر ۲۰۰ بار تکرار انجام می‌شود. در شکل ۱۸ سرعت زاویه‌ای حلقه رول، شکل ۱۹ زاویه حمله، شکل ۲۰ سیگنال ورودی به عملگر و سرعت زاویه‌ای کanal پیچ در حالت اغتشاش یافته نمایش داده شده است. برای بررسی تضعیف بهره سیستم در فرکانس‌های بالا (300 rad/sec) 60° نقطه کاری درون پوش پروازی رهگیر به صورت تصادفی انتخاب شده و پاسخ فرکانسی سیستم حلقه‌باز



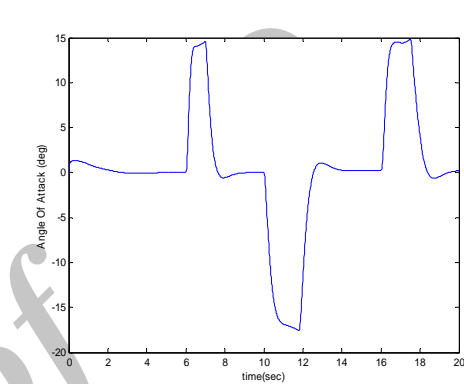
شکل ۱۸- سرعت زاویه‌ای حلقه رول در حالت اغتشاش یافته



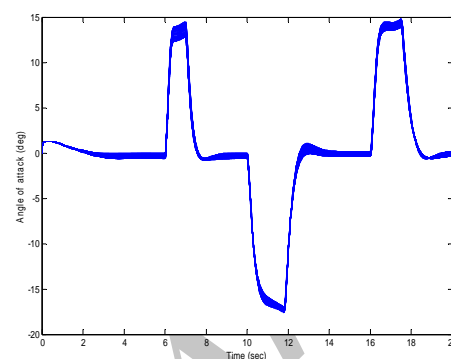
شکل ۱۴- مشتق سیگنال ورودی به عملگر



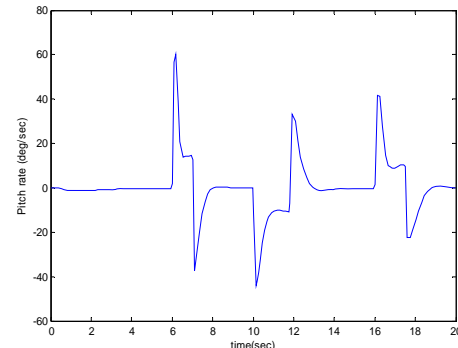
شکل ۱۹- زاویه حمله در حالت اغتشاش یافته



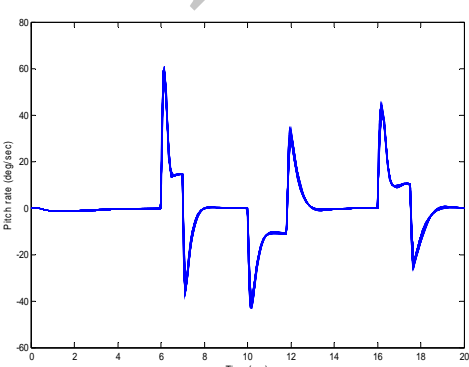
شکل ۱۵- زاویه حمله



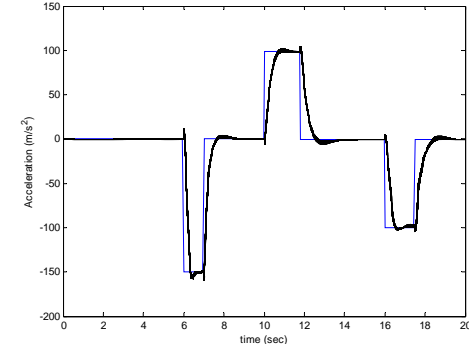
شکل ۲۰- سیگنال کنترلی ورودی به عملگر در حالت اغتشاش یافته



شکل ۱۶- سرعت زاویه‌ای کانال بیج

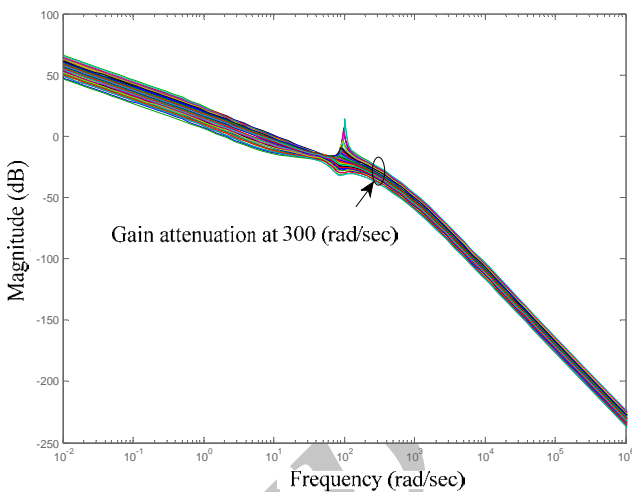


شکل ۲۱- سرعت زاویه‌ای کانال بیج در حالت اغتشاش یافته



شکل ۱۷- شتاب ورودی و شتاب رهگیر بهازای ۲۵٪ تغییر در ضرایب آیرودینامیکی و برای ۲۰۰ بار تکرار

استاتیکی شکل دهنده حلقه H استفاده شد. طراحی کنترل کننده استاتیکی مقاوم و همچنین طراحی وزن های شکل دهنده حلقه با ارائه الگوریتمی جدید انجام شد. با این الگوریتم مشکل پیچیدگی طراحی وزن های شکل دهنده حلقه بطرف گردیده و علاوه بر آن حاشیه پایداری مقاوم سیستم حلقه بسته نیز به بهینه محلی خود رسید. علاوه بر آن کنترل کننده نهایی نیز درجه بسیار پایینی دارد که پایداری و کاربرد آن را مطلوب می سازد. برای اثبات پایداری از ابزار v-gap metric استفاده شد. در این حالت اگر حاشیه پایداری مقاوم حاصل شده از الگوریتم ارائه شده، از بیشترین v-gap بین سیستم های حلقه باز درون پوش پروازی با سیستم حلقه باز نامی بیشتر باشد، آن گاه کنترل کننده مقاوم طراحی شده برای نقطه نامی، پایداری را برای تمام نقاط درون پوش پروازی تامین می نماید. در نهایت شبیه سازی شش درجه آزادی انجام شده و نشان داده شد که خودخلبان طراحی شده معیارهای کارآیی و مقاومت را تامین می نماید.



شکل ۲۲- تضعیف بهره پاسخ فرکانسی سیستم حلقه باز در فرکانس ۳۰۰ rad/sec برای ۶۰ نقطه کاری تصادفی درون پوش پروازی رهگیر

جمع بندی و نتیجه گیری

در این مقاله خودخلبان مقاوم برای یک رهگیر زمین به هوای برد و ارتفاع کوتاه بدون نیاز به جدول بندی بهره طراحی شد. نشان داده شد که خودخلبان طراحی شده پایداری رهگیر را در تمام پوش پروازی به خوبی تضمین می نماید. به منظور تضمین پایداری ابتدا یک نقطه کار مناسب درون پوش پروازی رهگیر انتخاب شده و سپس مدل خطی رهگیر در آن نقطه استخراج گردید. برای طراحی کنترل کننده مقاوم از روش کنترل کننده

جدول ۱- نمایش کارآیی خودخلبان مقاوم در نقاطی که پله به سیستم اعمال شده است

نقطه ششم	نقطه پنجم	نقطه چهارم	نقطه سوم	نقطه دوم	نقطه اول	
۰/۸۳	۰/۵۳	۰/۷۵	۰/۶۹	۰/۶۴	۰/۳۶	زمان صعود
٪۳	٪۳	٪۶	٪۲	٪۳	٪۴	فراجهش
٪۱	٪۱/۵	٪۱	٪۱	٪۱	٪۱	خطای حالت دائم
۲۷/۵	۲۷/۵	۲۷/۵	۲۷/۵	۲۷/۵	۲۷/۵	بیشینه نرخ تغییر زاویه بالک (deg/sec)

فهرست علائم لاتین

- $\bar{\sigma}(\cdot)$: بزرگترین مقدار تکین ماتریس
- $\underline{\sigma}(\cdot)$: کوچکترین مقدار تکین ماتریس
- $\| \cdot \|_\infty$: نرم بینهایت ماتریس
- $[P \quad C]$: فیدبک استاندارد بین پلات P و کنترل کننده C
- $\mathfrak{R}H_\infty$: فضای توابع کسری حقیقی محدود و آنالیتیک
- ℓH_∞ : فضای توابعی که در $\mathfrak{R}H_\infty$ یکه باشند.

بالانویس‌ها

ابعاد ماتریس	$m \times n$
پاسخ بهینه	\wedge
ترانهاده ماتریس	T
ترانهاده مزدوج ماتریس	$*$
معکوس ماتریس	$-$

پی‌نوشت

۱ Normalized Coprime Factor

۲ Skid To Turn

منابع و مراجع

- [۱] M. A. Sharbafi, A. Mohammadinejad, J. Roshanian, A. Kh. Sedigh, "Stability proof of gain scheduling controller for skid-to-turn missile using kharitonov theorem", JAST, Vol. ۶, No. ۲, pp. ۷۱-۷۸, ۲۰۰۹.
- [۲] علی اکبرزاده کلات، حمیدرضا مومنی، "طراحی کنترل کننده اتوپایلوت موشک به روش جدول‌بندی بهره فازی"، نشریه مهندسی برق و مهندسی کامپیوتر ایران، سال ۵، شماره ۲، تابستان ۱۳۸۶، صفحه ۵۹-۶۸
- [۳] D. J. Stilwell, "State-space interpolation for a gain-scheduled autopilot", Journal of Guidance, Control, and Dynamics, Vol. ۲۴, No. ۳, pp. ۴۶۰-۴۶۵, ۲۰۰۱.
- [۴] D.J. Stilwell, "Stability preserving interpolation methods for the synthesis of gain scheduled controllers". Automatica, Vol. ۳۶, pp. ۶۶۵-۶۷۱, ۲۰۰۰
- [۵] W.J. Rugh, J.S. Shamma, "Research on gain scheduling". Automatica, Vol. ۳۶, pp. ۶۶۵-۶۷۱, ۲۰۰۰
- [۶] G. A. Gracia, S. Keshmiri, R. D. Colgren, "Advanced H infinity Trainer autopilot", AIAA Modeling and Simulation Technologies Conference, August ۲۰۱۰, Toronto, Canada.
- [۷] S. Kang, H.J. Kim, J.I. Lee, B.E. Jun, and M.J. Tahk, "Roll-pitch-yaw integrated robust autopilot design for a high angle-of attack missile", Journal of Guidance, Control, and Dynamics, Vol. ۳۲, No. ۵, pp. ۱۶۲۲-۱۶۲۸,

$$[G_s \quad k_\infty] : \text{حاشیه پایداری مقاوم سیستم}$$

$$\gamma : \text{معکوس حاشیه پایداری مقاوم}$$

$$Q : \text{فشار دینامیکی}$$

$$S : \text{سطح مرجع}$$

$$D : \text{قطر}$$

$$I : \text{ماتریس همانی}$$

$$V : \text{سرعت رهگیر}$$

$$X : \text{نیروی وارد بر رهگیر در راستای X بدنی}$$

$$Y : \text{نیروی وارد بر رهگیر در راستای Y بدنی}$$

$$Z : \text{نیروی وارد بر رهگیر در راستای Z بدنی}$$

$$L : \text{گشتاور حول محور رول}$$

$$M : \text{گشتاور حول محور پیچ}$$

$$N : \text{گشتاور حول محور یا و}$$

$$P : \text{سرعت زاویه‌ای حول محور X بدنی}$$

$$Q : \text{سرعت زاویه‌ای حول محور Y بدنی}$$

$$R : \text{سرعت زاویه‌ای حول محور Z بدنی}$$

$$\delta : \text{زاویه بالک}$$

$$C_{l_{\dot{\alpha}}} : \text{ضریب گشتاور رول ناشی از جابجایی الوتور}$$

$$C_{l_p} : \text{ضریب گشتاور رول ناشی از نرخ غلت}$$

$$C_{z_{\dot{\alpha}}} : \text{ضریب نیروی Z ناشی از جابجایی الوتور}$$

$$C_{z_{\alpha}} : \text{ضریب نیروی Z ناشی از تغییرات زاویه حمله}$$

$$C_{z_q} : \text{ضریب نیروی Z ناشی از تغییرات } Q$$

$$C_{m_{\dot{\alpha}}} : \text{ضریب گشتاور M ناشی از جابجایی الوتور}$$

$$C_{m_{\alpha}} : \text{ضریب گشتاور M ناشی از تغییرات زاویه حمله}$$

$$C_{m_q} : \text{ضریب گشتاور M ناشی از تغییرات } Q$$

زیرنویس‌ها

$$r : \text{سیگنال مرجع}$$

$$c : \text{سیگنال دستور}$$

$$\delta : \text{متغیر دیفرانسیلی}$$

$$ss : \text{حالت دائم}$$

$$- : \text{سمت چپ محور موهومی}$$

$$+ : \text{سمت راست محور موهومی}$$

- [۱۷] S. Ricardo., P. Sanches, K.R. Phalgun, B. Dario, "New results on Linear time invariant and parameter varying static output feedback", Journal of Guidance, Control and Dynamics, Vol. ۳۱, No. ۵, pp. ۱۲۳۰-۱۲۳۸, ۲۰۰۸
- [۱۸] S. Patra., S. Sen., and G. Ray, "Design of static H_∞ loop shaping controller in four-block framework using LMI". Automatica, Vol. ۴۴, pp. ۲۲۱۴-۲۲۲۰, ۲۰۰۸
- [۱۹] S. Theodoulis, G. Duc, "Missile autopilot design: Gain scheduling and the gap metric" Journal of Guidance, Control and Dynamics, Vol. ۳۲, No. ۳, pp. ۹۸۶-۹۹۶, ۲۰۰۹.
- [۲۰] A. Lanzon, "Weight optimization in H_∞ loop shaping" Automatica, Vol. ۴۱, No. ۷, pp. ۱۲۰۱-۱۲۰۸, ۲۰۰۵
- [۲۱] M. Ejaz, M. Arbab, "Automativ weight selection in H_∞ loop shaping using genetic algorithm", In: ICET '۰۶ international conference on emerging technologies, ۱۳-۱۴ November, pp. ۳۳۴-۳۴۲, ۲۰۰۶
- [۲۲] G. Papageorgiou, K. Glover., H_∞ loop shaping: Why is it a sensible procedure for designing robust flight controllers? AIAA Guidance, Navigation, and Control Conference and Exhibit. ۱۹۹۹, pp. ۱۱۴.
- [۲۳] K. Zhou, J.C. Doyle, and K. Glover, "Robust and optimal control", Prentice Hall, first edition, ۱۹۹۶.
- [۲۴] G.M. Siouris, "Missile guidance and control systems", New York, Springer-verlag, Inc., ۲۰۰۴.
- [۲۵] Vinnicombe, G "Frequency Domain Uncertainty and the Graph Topology". IEEE Transactions on Automatic Control, Vol. ۴۸, No. ۹, pp. ۱۳۷۱-۱۳۸۳, ۱۹۹۳.
- [۸] C.F. McFarlane, K. Glover, "A loop shaping design procedure using H_∞ synthesis," IEEE Transactions on Automatic Control, Vol. ۳۷, No. ۶, pp. ۷۵۹-۷۶۹, ۱۹۹۲
- [۹] K. Glover, and D. McFarlane, "Robust stabilization of normalized coprime factor plant descriptions with H_∞ -bounded uncertainty," IEEE Transactions on Automatic Control, Vol. ۳۴, No. ۸, pp. ۸۲۱-۸۳۰, ۱۹۸۹.C.F
- [۱۰] J. Petrich, D.J. Stilwell, "Robust control for an autonomous underwater vehicle that suppresses pitch and yaw", Ocean Engineering, Vol. ۳۸, pp. ۱۹۷-۲۰۴, ۲۰۱۱.
- [۱۱] S. Kaitwanidvilai, P. Olranthichachat, "Robust loop shaping-fuzzy gain scheduling control of servo-pneumatic system using particle swarm optimization approach" Mechatronics, volume. ۲۱, pp. ۱۱۲۱, ۲۰۱۱.
- [۱۲] G. Papageorgiou., K. Glover, and R.A. Hyde. Robust Flight Control: A Design Challenge, GARTEUR, volume ۲۲۴ of Lecture Notes in Control and Information Sciences, chapter ۲۹, pages ۴۶۴-۴۸۳. Springer-Verlag, ۱۹۹۷.
- [۱۳] Hiert, G. Duc, P. Friang, and D. Farret, "Linear parameter varying/loop shaping H_∞ synthesis for missile autopilot design", Journal of Guidance, Control and Dynamics, Vol. ۲۴, No. ۵, pp. ۸۷۹-۸۸۶, ۲۰۰۱.
- [۱۴] J. Gadewadikar, F.L. Lewis, L. Xie., V. Kucera., and M. Abu-Khalaf, "Parametrization of all stabilizing H_∞ static state-feedback gains: Application to output feedback design". Automatica, Vol. ۴۳, pp. ۱۵۹۷-۱۶۰۴, ۲۰۰۷
- [۱۵] E. Prempain, I. Postlethwaite, "Static H_∞ loop shaping control of a fly-by-wire helicopter" Automatica, Vol. ۴۱, pp. ۱۵۱۷-۱۵۲۸, sept. ۲۰۰۵
- [۱۶] J. Gadewadikar, F.L. Lewis, and M. Abu-Khalaf, "Necessary and sufficient conditions for H_∞ static output-feedback control" Journal of Guidance, Control and Dynamics, Vol. ۲۹, No. ۴, pp. ۹۱۵-۹۲۰, ۲۰۰۶